

## اثر الگوهای گوناگون تابش نور بر استحکام پیوند برشی کامپازیت رزین به مینا و عاج

سید مصطفی معظمی<sup>\*</sup> - فهیمه فرزانگان<sup>\*\*</sup> - حمید عطار<sup>\*\*\*</sup>

<sup>\*</sup>دانشیار گروه دندانپزشکی ترمیمی و زیبایی دانشکده‌ی دندانپزشکی و مرکز تحقیقات دندانپزشکی، دانشگاه علوم پزشکی مشهد

<sup>\*\*</sup>استادیار گروه ارتودنسی دانشکده‌ی دندانپزشکی و مرکز تحقیقات دندانپزشکی، دانشگاه علوم پزشکی مشهد

<sup>\*\*\*</sup>داندنه‌پزشک

### چکیده

**بیان مساله:** هر چه سرعت پلیمریزاسیون بیشتر باشد، کامپازیت فرصتی کمتر برای جریان یافتن داشته و ناگهان سخت گشته و به ایجاد پتانسیل جدایی ترمیم از دیواره‌های حفره و کاهش استحکام پیوند منجر می‌گردد.

**هدف:** هدف از این پژوهش، بررسی اثر الگوی تابشی پیشرونده‌ی پیشنهادی نوین (SUP) بر استحکام پیوند کامپازیت به مینا و عاج در مقایسه با چند الگوی تابشی دیگر بود.

**مواد و روش:** در این پژوهش تجربی-آزمایشگاهی، گروه‌های آزمایشی شامل 40 نمونه‌ی مینایی و 40 نمونه‌ی عاجی بر روی سطح فاشیال دندان‌های کanine آماده شدند. مولدهای سیلندریک به ابعاد  $2 \times 2$  میلی‌متر به وسیله‌ی کامپازیت Colten A 3.5 به روش توده‌ای پر گردیده و بر روی سطح آماده شده جا گرفتند. چهار الگوی تابشی برای گروه‌های مینایی و عاجی 10 تایی، به قرار زیر به کار گرفته شد. درسه گروه نخست به ترتیب برنامه‌ی HIP، LOP و PUL دستگاه آسترالیس 7 و در گروه چهارم برای کیورینگ، برنامه‌ی تابشی SUP استفاده گردید. پس از انکوباسیون 37 درجه‌ی سانتی‌گراد به مدت 24 ساعت و 500 دور چرخی دمایی 5-55 درجه‌ی سانتی‌گراد و مانت کردن نمونه‌ها در آکریل، اندازه گیری میزان استحکام پیوند به وسیله‌ی دستگاه اینسترون با سرعت کراس هد 0.5/0.5 میلی‌متر بر دقیقه انجام شد. سپس، داده‌ها با کمک نرم افزار SPSS با آزمون‌های واریانس یک عاملی و دو عاملی و دانکن، واکاوی آماری شدند.

**یافته‌ها:** نتایج نشان داد، که در گروه‌های عاجی ( $p=0/172$ ) و مینایی ( $p=0/295$ ) هیچ اختلاف معناداری میان استحکام باند منتج از چهار الگوی تابشی وجود ندارد و نیز، عامل یا متغیر مستقل الگوی تابشی تأثیر قابل توجهی بر استحکام پیوند ندارد ( $p=0/388$ ).

**نتیجه گیری:** الگوی تابشی SUP نیز، مانند دیگر الگوهای تواند استحکام باندی مطلوب با مینا و عاج ایجاد کند.

**واژگان کلیدی:** استحکام پیوند برشی، الگوی تابش نور، شدت نور، برنامه‌ی پیشرونده‌ی پیشنهادی

تاریخ پذیرش مقاله: 19/2/87

تاریخ دریافت مقاله: 18/11/86

محله دندانپزشکی دانشگاه علوم پزشکی شیراز 1387؛ دوره‌ی نهم، شماره‌ی دو؛ صفحه‌ی 109 تا 119

## درآمد

باند و فشار ناشی از انقباض پلیمریزاسیون خود را در 20 ثانیه‌ی نخست به دست می‌آورند<sup>(6)</sup>. ارزش اصلی یک استحکام پیوند به نسبت بالا، روبارویی با انقباض پلیمریزاسیون و در نتیجه، حفظ مهر و موم لبه‌ای است<sup>(7)</sup>. از سوی دیگر، اگر که پیوند میان کامپازیت و دندان خوب باشد، چنین فشارهای انقباضی قادر به ایجاد تغییراتی در ساختار دندان خواهد بود<sup>(8,1)</sup>. برای نمونه، ترک‌هایی ریز در مینای سرویکالی ایجاد خواهد شد، که دندان را برای شکستگی آماده می‌کند<sup>(10,9)</sup>.

به وجود آمدن شکاف‌های لبه‌ای و ریز نشت به دنبال آن، باعث ایجاد تغییر رنگ در لبه‌ها، حساسیت‌های پس از ترمیم و پوسیدگی‌های ثانویه می‌شود<sup>(11,10)</sup>.

دستگاه‌های لایت کیور به گونه‌ای طراحی شده‌اند، که بتوانند شدت نوری تولید کنند، که آن اندازه‌ی بالا باشد تا بتواند بخش‌های عمقی ترمیم را به خوبی کیور کند.

اما از سویی، به کار بردن یک منبع نوری شدید ممکن است به مراتب بیشتر، منجر به ایجاد شکاف در لبه‌ها و یا ترک‌های مینایی شود<sup>(12)</sup>.

از راههایی گوناگون می‌توان فشارهای ناشی از انقباض پلیمریزاسیون را کاهش داد. یک راه، لایه لایه قرار دادن کامپازیت است. در این روش، به کامپازیت اجازه داده می‌شود که آزادانه به سوی سطوح چسبنده انقباض پیدا کند. هر چه کامپازیت کمتر به دیواره‌های رو به رو باند شود، ممانعت کمتر در برابر انقباض وجود خواهد داشت و فشارهای کمتر به وجود خواهد آمد<sup>(13)</sup>.

راه دوم، قرار دادن سمان لاینر در دیواره‌های عاجی است. برای این روش، می‌توان از سمان گلاس آینومر استفاده کرد، که بعداً سطح این سمان اج شده و با کامپازیت باند می‌شود<sup>(14)</sup>. آخرین و تازه‌ترین راه عبارت است از، کاهش نخستین میزان تبدیل مواد رزینی (منومر به پلیمر)، که در این روش، مواد رزینی کمی اجازه‌ی آزادی حرکت در میان دیواره‌های حفره و مرکز انقباض خواهند داشت<sup>(15)</sup>. این پلیمریزاسیون با آغاز آهسته در نتیجه‌ی اعمال انرژی نورانی بصورت پله کانی

امروزه، کامپازیت رزین‌های لایت کیور به دلیل دارا بودن برتری‌هایی، چون زیبایی، راحتی کاربرد، بهبود یافتن پیوند با ساختار دندان و افزایش ویژگی‌های مکانیکی، در کارهای بالینی روزانه کاربرد گسترده‌تری پیدا کرده‌اند<sup>(1)</sup>. البته، یکی از نارسایی‌های کامپازیت‌های لایت کیور، این است که، درجه‌ی کیور شدن آنها متناسب با میزان نوری است، که بخش‌های گوناگون آن دریافت می‌کند. پلی مریزاسیون کافی عاملی قطعی در به دست آوردن ویژگی‌های فیزیکی مطلوب در مواد ترمیمی کامپازیت رزینی است<sup>(2)</sup>.

دشواری‌های مربوط به پلی مریزاسیون ناکافی عبارت هستند از: ویژگی‌های فیزیکی پایین، قابلیت حل شدن در محیط دهانی، افزایش ریزنیت و در نتیجه‌ی آن، عود پوسیدگی و تحریک پالپی<sup>(3)</sup>.

یکی دیگر از مشکلات سرشنی کامپازیت‌ها این است که، به هنگام پلیمریزاسیون به انقباض دچار می‌شوند. به ویژه، در کامپازیت‌های نوری، که سرعت پلیمریزاسیون بالا بوده و سمت انقباض ماده به سمت منبع نوری است، زمینه برای جدا شدن ماده ترمیمی از دیواره‌ها آماده تر می‌شود<sup>(4)</sup>. پژوهش‌هایی گوناگون برای چیرگی بر این مشکل انجام گردیده و راهکارهای بسیار نیز، در این راستا پیشنهاد شده است. اما این مشکل، نه به قوت نخستین، ولی همچنان وجود دارد و راه را برای بررسی‌های بیشتر باز گذارد است. فوزایاما (Fusayama) در مقاله‌ی خود، مشکل الگوی انقباضی کامپازیت‌های نوری را کاملاً شرح داده است<sup>(5)</sup>. هر چه شدت نور تابیده شده به کامپازیت بیشتر باشد و یا به سخن بهتر، هر چه کامپازیت در زمانی کوتاه تر سخت شود، مدت زمان مرحله‌ی ویسکوپلاستیک نیز، کوتاه تر بوده و در نتیجه، فشار ناشی از پلیمریزاسیون بیشتر خواهد شد. به طور کلی، در کامپازیت‌های نوری، نیروهای ناشی از پلیمریزاسیون در مدت چند ثانیه ایجاد می‌شوند. این کامپازیت‌ها در حد استحکام 80 درصد

(استفاده گردید. مقاطع مینایی بر روی سطح فاسیال آماده گردید. این سطح به وسیله‌ی فرز تراش داده شد به گونه‌ای که، سطحی صاف به ابعاد  $5 \times 5$  میلی‌متر به وجود آید. اما، برای ایجاد مقاطع عاجی، آن اندازه از سطح فاسیال تراشیده شد تا این که، سطح عاجی صاف به ابعاد  $5 \times 5$  میلی‌متر نمایان گردد. سپس، دندان‌ها در آکریلی فوری بایر (BayerPharma, Division Dentaire, 107 Ave Gabriel Peri, 94170 Le Perreux) و در قالب‌هایی به ابعاد  $3/5 \times 1 \times 1$  سانتی متر به گونه‌ای مانند شدن، که سطح صاف و تراش خورده‌ی مینایی یا عاجی آنها به صورت موازی با افق بیرون از آکریل قرار گیرد. سپس، دندان‌ها به روش تصادفی به چهار گروه 20 تایی بخش شدن، که هر گروه، شامل 10 مقطع مینایی و 10 مقطع عاجی بود. مقاطع مینایی و عاجی پیش از قرار دادن کامپازیت بر پایه‌ی دستور کارخانه، به روش زیر آماده شدن: در مقاطع مینایی، در آغاز، سطح تراش خورده‌ی دندان با کمک یک فرز الماسه D&Z متوسط شماره‌ی 016 - 878 تراش داده شد. سپس، سطح یاد شده به مدت 20 ثانیه به وسیله‌ی اسید فسفریک (Ultraetch<sup>®</sup> 505 WEST 10200 South SOUTH Jordan, UTAH 84095 Ultradent, USA) اج گردید و پس از شست و شو و خشک کردن، عامل Ivoclar/vivadent (Excite<sup>®</sup>) بازدیننگ (2, AG, FL-9494 Schaan/ Liechtenstein) بر پایه‌ی دستور کارخانه‌ی سازنده مورد استفاده قرار گرفت و به مدت 20 ثانیه از فاصله یک میلی‌متر و با شدت نور 400 میلی‌وات بر سانتی‌متر مربع با برنامه‌ی LOP دستگاه آسترالیس 7 (Ivoclar/vivadent – Clinical, FL-9494 Schaan / Liechtenstein made in Austria) کیور گردید. همین مراحل برای مقاطع عاجی انجام شد با این تفاوت، که مدت اج کردن در این مقاطع، 10 ثانیه بود. پس از قراردادن مولدهای پلی اتیلن سیلندریک Tetric Ceram<sup>®</sup> با ابعاد  $2 \times 2$  میلی‌متر، که با کامپازیت Ivoclar/vivadent, Benderer Strasse 2, AG, FL-9494

است (Step-wise modulation of light energy) و نشان داده شده است، که باعث شکاف لبه‌ای کوچک‌تر و اتصالات لبه‌ای بیشتر می‌شود<sup>(16)</sup>. در این پژوهش تجربی آزمایشگاهی، که به دنبال بررسی‌های معظمی و عباسی<sup>(17)</sup> و معظمی و فرزانگان<sup>(18)</sup> انجام پذیرفته است، با معرفی یک گونه روش سخت نمودن پله کانی (Step-cure) پیشرونده‌ی پیشنهادی یا SUP (Suggestive Progressive Program) که با تغییر ولتاژ برق ورودی دستگاه لایت کیور به کمک یک دیمر کالیبره شده و به دنبال آن، تغییر شدت نور خروجی دستگاه لایت کیور و ایجاد الگوی تابش جدید، ایجاد شده است، روند پلی‌مریزاسیون را آهسته کرده تا بتوان فشارهای انقباضی را به حداقل رسانده و قصد بر آن بوده است، که اثر آن بر استحکام پیوند کامپازیت به مینا و عاج در مقایسه با سه الگوی تابشی دستگاه آسترالیس 7 بررسی شود. نتایج بررسی‌های پیشین<sup>(18)</sup> نشان داده است، که این روش (SUP) می‌تواند همانند دیگر الگوهای تابشی، کیورینگی مطلوب را تا عمق چهار میلی‌متر در درون کامپوزیت ایجاد کند و از سویی، ریزنشت را نسبت به دیگر گروه‌ها کاهش دهد. در حقیقت، این بررسی به دنبال پاسخ به این پرسش است که: آیا الگوی تابشی پیشرونده‌ی پیشنهادی، به ایجاد استحکام پیوند مناسب کامپازیت به مینا و عاج دندان در مقایسه با سه الگوی تابشی دستگاه آسترالیس 7 قادر خواهد بود؟

## مواد و روش

در این بررسی آزمایشگاهی - تجربی از 80 دندان کائین انسانی سالم، بدون پوسیدگی و ترک پس از تمیزشدن با دستگاه اولتراسونیک و بروساژ با خمیر پامیس، استفاده شد. در آغاز، دندان‌ها به دو گروه 40 تایی، شامل یک گروه مینایی و یک گروه عاجی بخش شدند. برای آماده سازی مقاطع از فرز الماسه استوانه‌ای بلند زبر D&Z شماره‌ی 014 – 837 Dental Zweiling ,DIAMANT GmbH,Georzalle 307,14167

از آن در مدت 15 ثانیه، به 400 میلی وات بر سانتیمتر مربع می‌رسد. سپس، فاصله‌ی زمان‌های در حدود دو ثانیه شدت نور میان 400 تا 750 میلی وات بر سانتیمتر مربع نوسان می‌کند و در زمان 40 ثانیه، نور خروجی قطع می‌شود.

#### 4- گروه چهارم یا (Suggestive Progressive Program)

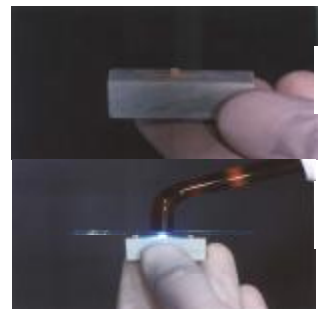
SUP : در این گروه، که در حقیقت گروه پیشنهادی و مورد آزمایش بود، الگویی تازه از نظر شدت و مدت برای ایجاد Step-cure کامپازیت استفاده شد. در این روش، در آغاز شدت‌های 250، 300 و 350 میلی‌وات بر سانتی‌مترمربع هر یک به مدت 20 ثانیه به کامپازیت تابیده شد، که این شدت‌ها به کمک یک دستگاه دیمرویک دستگاه Coltene/whaledent Inc. 750 (Coltolux®) لایت کیور (Corporate Drive, Mahwah, NJ 07430) تولید گردید (نگاره‌ی 2). در پایان، بی‌درنگ پس از آن، کامپازیت به مدت 30 ثانیه در زیر تابش نور با شدت 400 میلی‌وات بر سانتیمتر مربع قرار گرفت.



نگاره‌ی 2: نمایش اجزای گوناگون الگوی تابش پیشنهادی (SUP). A. ترانس تنظیم کننده‌ی ولتاژ ورودی به دستگاه دیمیر، C. رادیومتر، D. کلتولوکس، 4. E. آسترالیس 7.

پس از این مراحل، دندان‌ها به مدت 24 ساعت در انکوباتور 37 درجه‌ی سانتی‌گراد با رطوبت 100 درصد نگهداری شدند و سپس، نمونه‌ها در آب مقطر در زیر 1500 چرخه‌ی دمایی 5 تا 55 درجه‌ی سانتی‌گراد قرار گرفتند.

(Schaan / Liechtenstein) کاملاً پر شده بودند بر روی سطوح آماده شده دندان، تابانیدن نور از فاصله‌ی یک میلی‌متر، بسته به شماره‌ی گروه برشی الگوهای زیر به تعدادی کامپازیت اعمال شد (نگاره‌ی 1).



نگاره‌ی 1: قرار دادن مولد پلی اتیلنی پرشده با کامپازیت بر روی مقاطع آماده سازی شده‌ی مینایی و عاجی (A) و اعمال نور دستگاه لایت کیور (B).

1. گروه نخست یا HIP (High Power Program) : در این گروه برای سخت کردن کامپازیت از شدت نور 750 میلی‌وات بر سانتیمتر مربع دستگاه آسترالیس 7 به مدت 40 ثانیه استفاده گردید.

2. گروه دوم یا LOP (Low Power Program) : در این گروه برای سخت کردن کامپازیت از شدت نور 400 میلی‌وات بر سانتیمتر مربع دستگاه آسترالیس 7 به مدت 75 ثانیه استفاده گردید.

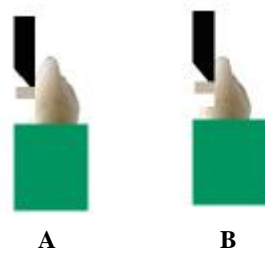
3. گروه سوم یا PUL (Puls Program) : در این گروه برای سخت کردن کامپازیت از برنامه‌ی PUL برای سخت کردن کامپازیت از برنامه‌ی آسترالیس دستگاه آسترالیس 7 به مدت 60 ثانیه استفاده گردید. در این گروه، از دو دستگاه آسترالیس استفاده شد، به گونه‌ای، که در آغاز، با یکی از دستگاه‌ها به مدت 40 ثانیه با برنامه‌ی PUL تابش انجام شد و سپس، بی‌درنگ با دستگاه دوم که 15 ثانیه از پیش روشن شده بود و شدت نور آن به مرحله‌ی نوسانی (Pulsing) رسیده بود به مدت 20 ثانیه تابش ادامه یافت. در این دستگاه در برنامه PUL شدت نور خروجی در مدت یک ثانیه به 150 میلی‌وات بر سانتی‌متر مربع رسیده و پس

مستقل فوق بر متغیر وابسته مذکور با آزمون واریانس (دouالملی) و برای بررسی تاثیر الگوی تابش در گروه‌های عاجی و مینایی بر استحکام پیوند با تحلیل واریانس یک سویه واکاوی آماری توسط نرم افزار SPSS گونه‌ی 11، صورت پذیرفت.

#### یافته‌ها

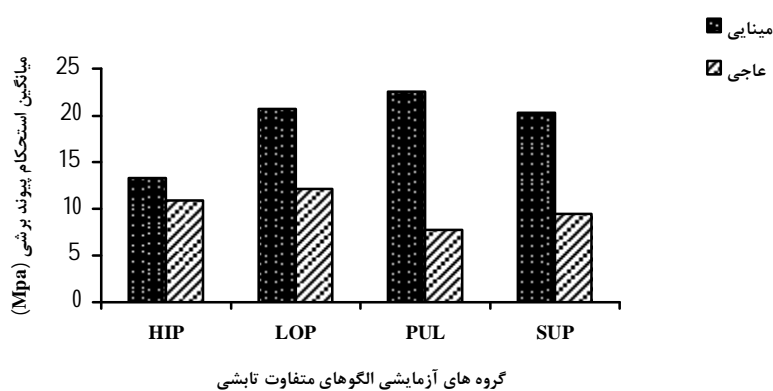
آزمون کالموگوف با  $P=0/092$  نبود اثر متقابل را نشان داد. آزمون واریانس دوسویه بدون در نظر گرفتن اثر متقابل بیانگر این بود، که متغیر مستقل مینایی و عاجی به طور چشمگیری  $p<0/001$  بر روی استحکام باند تاثیر دارد و عامل یا متغیر مستقل الگوی تابش تاثیر قابل توجه به استحکام پیوند ندارد  $p=0/388$ . تحلیل واریانس یک سویه با  $p=0/172$  برای گروه‌های عاجی و  $p=0/295$  برای گروه‌های مینایی نشان دهنده‌ی این امر بود، که الگوی تابش در هیچ یک از دو گروه عاجی و مینایی بر استحکام باند تاثیر معنی داری ندارد. همان‌گونه که انتظار می‌رفت، در همه‌ی گروه‌ها، استحکام پیوند برشی در مینا بیشتر از عاج بود (نمودار 1).

برای تعیین استحکام برشی پیوند کامپازیت به مقاطع مینایی و عاجی از دستگاه اینسترون (Instron Engineering Co. Canton, Mass) کراس ھد 0/5 میلی‌متر / دقیقه استفاده شد (نگاره‌ی 3). استحکام برشی پیوند بر پایه‌ی مگاپاسکال (MPa) اندازه‌گیری و ثبت شدند. سپس، داده‌ها با آزمون واریانس یک عامله و دو عامله واکاوی آماری شدند.



نگاره‌ی 3: نمای انجام آزمایش استحکام پیوند برشی نمونه‌های مینایی (A) و عاجی (B).

برای بررسی تاثیر هر یک از دو متغیر مستقل الگوی تابش نور و سطوح عاجی و مینایی بر متغیر وابسته استحکام باند و بررسی اثر متقابل دو متغیر



نمودار 1: میانگین استحکام پیوند برشی کامپازیت به مینا و عاج دندان بر پایه‌ی مگا پاسکال به تفکیک گروه‌های آزمایشی (الگوهای تابشی)

## بحث

موضوع، که هر شدت نوری (در شرایط یکسان و با چشمپوشی از گونه‌ی رنگ کامپازیت) عمق نفوذ معینی در کامپوزیت دارد، در نتیجه، با این الگوی تابش، در آغاز، لایه‌های سطحی، که نور با شدت پایین قادر به نفوذ در آن است، سخت می‌گردد. در حالی که، لایه‌های عمیق‌تر، هر چند که مقداری نور در آنجا نفوذ می‌کند، اما در حالت ویسکو-پلاستیک یا ژله‌ای هستند و فرصت جریان یافتن به درون آندرکات‌ها و گوشه‌های حفره را دارا هستند. به تدریج که شدت نور بالا می‌رود، عمق نفوذ نیز، بیشتر شده و لایه‌های عمیق‌تر نیز سخت می‌گردد. به این گونه، انتظار می‌رود، که فشارهای انقباضی ناشی از سخت شدن توده ای کامپازیت، که در شدت‌های بالای نوردهی ناگهانی رخ می‌دهد، با این روش کاهش یابد. معظمی و عباسی، اثر چهار الگوی تابش SUP, PUL, LOP, HIP را برروی سختی کامپازیت‌های نوری بررسی کردند. نتایج نشان داد، که میزان سختی در هر چهار گروه تا عمق چهار میلی‌متر در حد مطلوب است و با یکدیگر اختلاف معنادار ندارند و نتیجه گرفتند، که الگوی SUP توان به انجام پلی مریزاسیون کافی کامپازیت را تا عمق چهار میلی‌متر دارد.<sup>(17)</sup>

معظمی و فرزانگان، اثر همین چهار الگوی تابشی را بر ریزنشت کامپازیت‌های نوری بررسی کردند و نتایج نشان داد، که کمترین میزان ریزنشت مینایی و عاجی در میان چهار گروه آزمایشی، مربوط به گروه SUP بود و ریز نشست نمونه‌های مینایی با به کارگیری الگوی تابشی SUP صفر، است.<sup>(18)</sup>

در این الگو، در واقع روند پلی مریزاسیون هدایت یافته، فشارهای انقباضی کمتر ایجاد شده و به دنبال آن، اثرات زیان آور این فشارها نیز، بر استحکام پیوند کامپازیت با دندان کاهش می‌یابد. اما نتایج این بررسی نشان داد، که استحکام پیوند این گروه با گروه‌های دیگر تفاوتی ندارد.

فوزایاما (Fusayama) در مقاله‌ی خود، مشکل الگوی انقباضی کامپازیت‌های نوری را کاملاً شرح داده

در راستای تلاش‌های انجام گرفته در زمینه‌ی افزایش زمان حالت ویسکو-پلاستیک کامپازیت‌های نوری و کاهش انقباض ناشی از پلی مریزاسیون سریع آنها، معظمی و همکاران در دو بررسی خود<sup>(18,19)</sup> الگوی تازه‌ی کیورینگ را با عنوان سخت نمودن لایه به لایه معکوس (Revers layer by layer curing) و یا پلی مریزیشن پیشرونده پیشنهادی (SUP) معرفی و آزمایش کردند. در این الگو، در آغاز، نور با شدت‌های پایین به کامپازیت تابیده شده و پیوسته شدت نور افزایش یافته تا به مرز 400 میلی‌وات بر سانتی‌متر مربع برای کیورینگ برسد. در این روش نوردهی، با تغییر ولتاژ برق ورودی دستگاه لایت کیور و به دنبال آن، تغییر شدت نور خروجی دستگاه لایت کیور و ایجاد الگوی تابشی تازه، هدف این است، که روند پلیمریزاسیون را آهسته کرده تا فشارهای انقباضی را به پایین ترین اندازه رساند.

فان (Fan) و همکاران نشان دادند، که تغییرات ولتاژ بر شدت تابش مؤثر بوده و کاهش ولتاژ برق ورودی با کاهش شدت تابش دستگاه لایت کیور در پیوند است<sup>(19)</sup>. دیال لئونارد (D.L.Leonard) و همکاران پیوندی مستقیم میان تغییرات شدت بروندی دستگاه لایت کیور و تغییرات ولتاژ برق شهر به دست آوردند، که با نظر فان (Fan) و همکاران هم راستاست. تغییرات ولتاژ به میزان 10 ولت می‌تواند موجب کاهش قدرت کیورینگ به میزان 30 درصد شود<sup>(21,20)</sup>.

از آنجایی که، حداقل شدت نوری، که می‌تواند کامپازیت را کیور کند، 233 میلی‌وات بر سانتی‌متر مربع در نظر گرفته می‌شود، در این الگو نوردهی، از شدت 250 میلی‌وات بر سانتی‌متر مربع به مدت 15 ثانیه آغاز شده و سپس، شدت‌های 300 و 350 میلی‌وات بر سانتی‌متر مربع هر یک به مدت 15 ثانیه وارد گردیده و در پایان از شدت 400 میلی‌وات بر سانتی‌متر مربع به مدت 30 ثانیه استفاده می‌شود. با آگاهی به این

رزین های کامپازیت باید درجه‌ی تبدیل و سختی سطحی کافی داشته باشند و نشان داد که برای رسیدن به درجه‌ی تبدیل مناسب، شدت های بالاتر مناسب هستند، چون باعث کاهش مونومر به جامانده و ایجاد ویژگی های مکانیکی مطلوب می‌شوند<sup>(24)</sup>.

یاپ (Yap) و همکاران<sup>(9)</sup>، یوشیکاوا (Yoshikawa) و همکاران<sup>(1)</sup>، سیلیکاس (Silikas) و همکاران<sup>(23)</sup> و ساکاگوچی (Sakaguchi) و همکاران<sup>(25)</sup> در بررسی های گوناگون به این نتیجه رسیدند، که افزایش شدت نور باعث افزایش فشارهای انقباضی و افزایش شکاف های لبه ای و ریزنشست می‌شود. کوران (Koran) و همکاران در بررسی خود نشان دادند، که پلیمریزاسیون سریع می‌تواند چسبندگی را ضعیف کرده، ولی پره پلیمریزاسیون با شدت پایین می‌تواند چسبندگی را بهمود بخشد و نیز، میزان دمای تولید شده در پالپ می‌تواند به وسیله‌ی روش دو مرحله‌ای کاهش باید<sup>(26)</sup>. آنان نیز، سختی سطحی، چسبندگی، انقباض، ویسکوزیتی و میزان منومر بر جامانده را در کامپازیت‌های سخت شده با الگوی تابشی گوناگون را بررسی کردند. این پژوهشگران درباره‌ی سختی سطحی به این نتیجه رسیدند، زمانی که کل انرژی نورانی رسیده به کامپوزیت به 17000 میلی وات ثانیه بر سانتی‌متر مربع برسد، سختی سطحی نهایی کامپازیت به دست می‌آید<sup>(26)</sup>. در بررسی کنونی، شدت‌های نور و زمان تابش به گونه‌ای در نظر گرفته شد، که مقدار کلی تابش برای چهار گروه یکسان باشد 30000 میلی وات ثانیه بر سانتی‌متر مربع(۱). این میزان، به مراتب بیشتر از 17000 میلی وات ثانیه بر سانتی‌متر مربع است که کوران و همکاران در بررسی خود به آن اشاره کردند.

در نتیجه، می‌توان انتظار داشت، که ویژگی های فیزیکی ترمیم در چهار گروه تقریباً همانند باشد، که نتایج به دست آمده از بررسی معظمی و عباسی تا عمق دو میلی متری مؤید آن است<sup>(17)</sup> و این احتمال، که شاید کم بودن استحکام پیوند، به ناکافی بودن انرژی

است. به گفته‌ی وی، در کامپوزیت‌های شیمیایی، پلیمریزاسیون از دیواره‌های حفره، که گرمتر است، آغاز شده و باعث می‌شود تا توده‌ی کامپوزیت به سمت دیواره انقباض یابد، ولی در کامپازیت‌های نوری، پلیمریزاسیون از سطح ماده، که نزدیک منبع نور است، آغاز می‌گردد. لایه‌ی سطحی در اثر انقباض ناشی از پلیمریزاسیون، بقیه‌ی توده‌ی کامپازیت را به سوی خود می‌کشد، که این امر، باعث جدایی ماده از دیواره‌ها می‌شود، به ویژه، هنگامی که، لبه‌ی لشه ای حفره در عاج یا سمان است و کامپازیت به مینای اج شده در دیگر لبه‌ها چسبیده باشد<sup>(5)</sup>. این فشارهای ناشی از الگوی انقباضی ممکن است نارسایی‌هایی در پیوند میان کامپازیت و دندان ایجاد کند، که به شکست در پیوند و ایجاد شکاف‌های لبه‌ای (Marginal gap)<sup>(9, 22)</sup> منجر گردد.

یوشیکاوا (Yoshikawa) به این نتیجه رسید، که با کاهش سرعت پلیمریزاسیون با الگوی پیشنهادی<sup>(270 mW/cm² 10s + 600 mW/cm² 50s)</sup> حداقل همخوانی لبه‌ای و حداقل انقباض ناشی از پلیمریزاسیون به دست می‌آید<sup>(1)</sup>، که معظمی و فرزانگان نیز، در بررسی خود به این نتیجه رسیدند<sup>(18)</sup>. سیلیکاس (Silikas) و همکاران در بررسی هایی، با تغییر شدت نور تابیده شده، درجه‌ی تبدیل کامپازیت (Degree of Conversion) و میزان فشار انقباضی کامپازیت را اندازه‌گیری کرده و نتیجه گرفتند، که: میان درجه‌ی تبدیل کامپازیت و فشار انقباضی پیوندی وجود دارد، به این ترتیب، که با مقداری کاهش در درجه‌ی تبدیل کامپازیت (تا حدود 55 تا 65 درصد)، می‌توان از فشارهای انقباضی کاست، اما این کاهش باید به اندازه‌ای باشد، که بتواند کیورینگی پذیرفتن را فراهم سازد و از سویی، باید توجه داشت، که درجه‌ی تبدیل کامپازیت، به تنها ی معرف میزان تشکیل شبکه ای پلیمری نیست<sup>(23)</sup>، که نتایج بررسی معظمی و عباسی مؤید نتایج به دست آمده از بررسی بالاست<sup>(17)</sup>. از سویی، لوتز (Lutz) بیان کرد، که برای ثبات بالینی،

بدست آمده در اعمق چهار میلی متری با الگوی SUP کمتر از الگوی HIP بود. ولی باید اشاره کرد، که تا عمق دو میلی متری، هیچ اختلاف معنادار در ایجاد سختی در الگوهای متفاوت تابشی وجود نداشت<sup>(17)</sup>. علت انتخاب لوله‌های پلی‌اتیلنی و قرار دادن ترمیم در درون این لوله‌ها برروی دندان به جای فراهم کردن حفره و انجام ترمیم معمولی، حذف عامل اصطکاک دیواره‌ها بود. عاملی، که می‌تواند مسیر انقباض پلیمریزاسیون را تغییر دهد و نتیجه‌ای خالص را که از تغییر الگوی تابشی حاصل می‌شود، تحت شعاع قرار دهد. بر پایه‌ی نتایج به دست آمده از آتالیزهای آماری، هم در گروههای مینایی و هم در گروه‌های عاجی، هر چهار روش می‌توانستند استحکام باند پذیرفتی و تقریباً یکسانی با دندان ایجاد کنند. البته، به طور کلی، استحکام باند به دست آمده از گروه HIP نسبت به گروه‌های دیگر کمتر بود، که با بررسی آمارال (Amaral)<sup>(27)</sup> هم راستاست، اما از نظر آماری اختلافی معنادار با سه گروه دیگر نداشت.

یوشیکاوا (Yashikawa) و همکاران نشان دادند، که پیوند خطی قوی میان استحکام پیوند برشی به عاج با میزان پلیمریزاسیون رزین مجاور سطح اتصال وجود دارد. یعنی این که استحکام پیوند آغازین به عاج تابعی از ویژگی مکانیکی رزین نزدیک به سطح اتصال با دندان است<sup>(30)</sup>.

الگوی SUP، که در حقیقت، یک روش سخت کردن عمق به عمق (Depth by Depth) کامپازیت است، با پخش کردن فشارهای انقباضی، مانع از انقباض ناگهانی توده‌ی کامپازیت به هنگام پلیمریزاسیون می‌شود. با توجه به نتایج به دست آمده از واکاوی آماری، که نشان می‌دهد استحکام پیوند در میان چهار گروه الگوی تابشی SUP, HIP, LOP و PUL با یکدیگر اختلافی معنادار ندارند، می‌توان بیان کرد، که الگوی SUP نیز می‌تواند مانند الگوهای دیگر، استحکام پیوند پذیرفتی با بافت‌های دندان ایجاد کند (هرچند که استحکام پیوندان بیشتر از گروه‌های دیگر نبود).

رسیده به ترمیم مربوط باشد، از میان می‌رود. پلی‌مریزاسیون سریع می‌تواند چسبندگی را ضعیف و پره پلیمریزاسیون با شدت پایین می‌تواند چسبندگی را بهبود بخشد<sup>(27)</sup>. در راستای افزایش زمان حالت ویسکو-پلاستیک کامپازیت‌های نوری و کاهش انقباض ناشی از پلیمریزاسیون سریع آنها نیز، در بررسی کنونی، الگوی پیشرونده‌ی پیشنهادی نوین برای کیورینگ معرفی و آزمایش شده. چرا، که یکی از مهم ترین راه‌های افزایش استحکام باند، کاهش اثر انقباض ناشی از پلیمریزاسیون کامپوزیت است و یکی از روش‌های کاهش اثر انقباض پلیمریزاسیون، تغییر الگوی تابش است.

ایلیه (Ilie) و همکاران در بررسی خود، یک دستگاه کیورینگ هالوژن را با سه دستگاه LED با 16 برنامه‌ی گوناگون کیورینگ مقایسه کردند و به این نتیجه رسیدند، که روش پلی‌مریزاسیون Soft start یا با شروع نرم و آهسته با کاهش انقباض پلی‌مریزاسیون و در عین حال، حفظ کیورینگ مطلوب، همچنان از بهترین روش‌های سخت کردن است<sup>(28)</sup>. نتایج بررسی های معظمی و فرزانگان<sup>(18)</sup> معظمی و عباسی نیز به نتایج بررسی بالا همانند است. معظمی و عباسی اثر این چهار الگوی تابشی را بر عمق کیورینگ بررسی کردند و نتیجه گرفتند، که الگوی SUP به انجام پلیمریزاسیون مطلوب تا عمق چهار میلی متری قادر است<sup>(17)</sup>. معظمی و فرزانگان نیز، به این نتیجه رسیدند، که میزان ریزنشت در گروه SUP نسبت به گروه‌های دیگر کمتر است<sup>(18)</sup>.

neo (Neo) و همکاران نیز، پنج گونه برنامه‌ی کیورینگ دستگاه VIP را از نظر سختی ایجاد شده در سطح و عمق کامپازیت سخت شده با هم مقایسه کردند و در پایان، به این نتیجه رسیدند، که کیفیت کیورینگ در عمق با برنامه‌های شروع نرم و آهسته (Soft start) و یا با شروع سریع Turbo می‌تواند افزایش یابد<sup>(29)</sup>، که این نتایج، چندان با نتایج به دست آمده از بررسی معظمی و عباسی همخوان نیست. که در آن سختی

2. اختلاف میزان استحکام برشی پیوند در میان گروه‌های مینایی و عاجی به شدت معنادار بود ( $p<0.001$ ).
3. میانگین استحکام پیوند در همه‌ی گروه‌های آزمایشی در گروه‌های مینایی بیشتر از گروه‌های عاجی بوده است.
4. الگوی تابشی در هیچ یک از دو گروه عاجی و مینایی تأثیر معنی داری به استحکام پیوند ندارد و الگوی تابشی پیشرونده‌ی پیشنهادی نوین (SUP) نیز مانند دیگر الگوهایی تواند استحکام پیوند مطلوبی بین کامپازیت و مینا و عاج نسبت به دیگر گروه‌ها داشته باشد.

### سپاسگزاری

نویسنده‌گان مقاله مراتب سپاس خود را از معاونت پژوهشی دانشگاه علوم پزشکی و مرکز تحقیقات دندانپزشکی دانشکده مشهد ابراز می‌دارند.

نتایج به دست آمده از این بررسی بیان کننده‌ی این واقعیت است، که با طراحی و ساخت دستگاه لایت کیوری، که بتواند الگوی SUP را ایجاد کند، می‌توان با اعمال پلیمریزاسیون هدایت شده لایه به لایه، افزون بر اطمینان از بسندگی پلیمریزاسیون و سختی مطلوب کامپازیت، به ترمیمی دست یافت، که فشارهای انقباضی در آن کاهش یافته و ریزنشت و شکست لبه‌ای در آن به اندازه‌ای پذیرفتنی کاهش یابد<sup>(18)</sup>. در عین حال، که به کارگیری این الگو، ضعفی از نظر استحکام باند کامپازیت- مینا و عاج نسبت به دیگر گروه‌ها نداشته باشد.

### نتیجه گیری

1. میزان استحکام برشی پیوند گروه‌های مینایی و همین‌طور گروه‌های عاجی در چهار گروه تابشی، اختلاف آماری معنادار با هم نداشت.

## References

1. Yoshikawa T, Burrow MF, Tagami J. A light curing method for improving marginal sealing and cavity wall adaptation of resin composite restorations. *Dent Mater* 2001; 17: 359-366.
2. Bayne SC, Hemann HO, Swift EJ JR. Update on dental composite restorations. *J Am Dent Assoc* 1994; 125: 687-701.
3. Lim BS, Ferracane JL, Sakaguchi RL, Condon JR. Reduction of polymerization contraction stress for dental composites by two-step light-activation. *Dent Mater* 2002; 18: 436-444.
4. Yap AU, Wong NY, Siow KS, Gan LM. Composite cure and shrinkage associated with high intensity curing light. *Oper Dent* 2003; 28: 357-364.
5. Fusayama T. Indications for self-cured and light-cured adhesive composite resins. *J Prosthet Dent* 1992; 67: 46-51.
6. Zidan O, Gomez-Marin O, Tsuchiya T. A comparative study of the effect of dentinal bonding agents and application techniques on marginal gaps in class V cavities. *J Dent Res* 1987; 66: 716-721.
7. Davidson CL, De Gee AJ, Feilzer A. The competition between the composite-dentin bond strength and the polymerization contraction stress. *J Dent Res* 1984; 63: 1396-1399.
8. Sheth JJ, Fuller JL, Jensen ME. Cuspal deformation and fracture resistance of teeth with dentin adhesives and composites. *J Prosthet Dent* 1988; 60: 560-569.
9. Yap AU, Ng SC, Siow KS. Soft-start polymerization: influence on effectiveness of cure and post-gel shrinkage. *Oper Dent* 2001; 26: 260-266.
10. Bowen RL, Nemoto K, Rapson JE. Adhesive bonding of various materials to hard tooth tissues: forces developing in composite materials during hardening. *J Am Dent Assoc* 1983; 106: 475-477.
11. Qvist V. Pulp reactions in human teeth to tooth colored filling materials. *Scand J Dent Res* 1975; 83: 54-66.
12. Davidson-Kaban SS, Davidson CL, Feilzer AJ, De Gee AJ, Erdilec N. The effect of curing light variations on bulk curing and wall-to-wall quality of two types and various shades of resin composites. *Dent Mater* 1997; 13: 344-352.
13. Davidson CL. Resisting the curing contraction with adhesive composites. *J Prosthet Dent* 1986; 55: 446-447.
14. Sakaguchi RL, Sasik CT, Bunczak MA, Douglas WH. Strain gauge method for measuring polymerization contraction of composite restoratives. *J Dent* 1991; 19: 312-316.
15. Davidson CL, Feilzer AJ. Polymerization shrinkage and polymerization shrinkage stress in polymer-based restoratives. *J Dent* 1997; 25: 435-440.

16. Goracci G, Bazzucchi M, Mori G, Casa dé Martinis L. In vivo and in vitro analysis of a bonding agent. *Quintessence Int* 1994; 25: 627-635.
17. معظمی سید مصطفی، عباسی ندا. تأثیر الگوی تابش وابسته به تغییر ولتاژ و پلیمریزاسیون هدایت شده بر ریز سختی کامپوزیت‌های لایت کیبور. پایان‌نامه دانشکده دندانپزشکی دانشگاه علوم پزشکی مشهد، 1380-81. پایان‌نامه شماره‌ی 1650.
18. معظمی سید مصطفی، فرزانگان فهیمه. تأثیر الگوی تابش وابسته به تغییر ولتاژ و پلیمریزیشن هدایت شده بر ریزنشست ترمیم‌های کامپوزیتی نوری. پایان‌نامه‌ی دانشکده دندانپزشکی دانشگاه علوم پزشکی مشهد، 1380-81. پایان‌نامه شماره‌ی 1641.
19. Fan PL, Wozniak ET, Reyes WD, Stanford TW. Irradiance of visible light curing units and voltage variation effect. *J Am Dent Assoc* 1987; 156: 209-215.
20. Leonard DL, Charlton DG, Roberts HW, Cohen ME. Polymerization efficiency of LED curing lights. *J Esthet Restor Dent* 2002; 14: 286-295.
21. معظمی سید مصطفی، عطّاران نونا. بررسی آزمایشگاهی تأثیر ضخامت‌های متفاوت چند نوع ماده ترمیمی و نسوج دندانی و هوا در میزان افت شدت نور. مجله دانشکده دندانپزشکی دانشگاه علوم پزشکی مشهد 1383؛ 28: صفحه‌های 251 تا 262.
22. Eick JD, Welch FH. Polymerization shrinkage of posterior composite resin and its possible influence on post operative sensitivity. *Quint Int* 1986; 17: 103-111.
23. Silikas N, Eliades G, Watts DC. Light intensity effects on resin composite degree of conversion and shrinkage strain. *Dent Mater* 2000; 16: 292-296.
24. Lutz F, Philips RW. A classification and evaluation of resin systems. *J Prosthet Dent* 1983; 50: 480-488.
25. Sakaguchi RL, Berge HX. Reduced light energy density decreases post-gel contraction while maintaining degree of conversion in composite. *J Dent* 1998; 26: 695-700.
26. Koran P, Kürschner R. Effect of sequential versus continuous irradiation of a light-cured resin composite on shrinkage. Viscosity, adhesion and degree of polymerization. *Am J Dent* 1998; 10: 17-22.
27. Amaral CM, Peris AR, Ambrosano GM, Swift EJ Jr, Pimenta LA. The effect of light-curing source and mode on microtensile bond strength to bovine dentin. *J Adhes Dent* 2006; 8: 41-45.
28. Ilie N, Kunzelmann KH, Visvanthan A, Hickel R. Curing behavior of a nanocomposite as a function of polymerization procedure. *Dent Mater J* 2005; 24: 469-477.
29. Neo BJ, Soh MS, Teo JW, Yap AU. Effectiveness of composite cure associated with different light-curing regimes. *Oper Dent* 2005; 30: 671-675.
30. Yoshikawa T, Sano H, Burrow MF, Tagami J, Pashley DH. Effects of dentin depth and cavity configuration on bond strength. *J Dent Res* 1999; 78: 898-905.